

КРУПНОМАСШТАБНОЕ КОНВЕКТИВНОЕ ТЕЧЕНИЕ НЕСЖИМАЕМОЙ ЖИДКОСТИ НА ВРАЩАЮЩЕЙСЯ НАКЛОННОЙ ПЛОСКОСТИ

Горшков А. В., Просвиряков Е. Ю.

Институт машиноведения УрО РАН

ул. Комсомольская, 34, г Екатеринбург, 620049, Россия.

alex55gor@mail.ru

В работе получены аналитические решения стационарного сдвигового конвективного течения вязкой вращающейся вязкой несжимаемой жидкости. Течение жидкости описывается уравнениями Обербека-Буссинеска с учетом двух параметров Кориолиса. Поле скоростей определяется точным решением Экмана. Поле температуры и поле давления линейно зависит от продольных координат. После подстановки в исходные уравнения получена краевая задача для системы обыкновенных нелинейных дифференциальных уравнений, решение которой получено аналитически. Проведен анализ решений. Показано влияние второго параметра Кориолиса на фоновое давление.

Ключевые слова: точное решение, первый параметр Кориолиса, второй параметр Кориолиса, течение Экмана, противотечение.

Постановка задачи.

Уравнения Обербека-Буссинеска, с учетом $V_z = 0$, примут вид [1]

$$\begin{aligned} \left(V_x \frac{\partial V_x}{\partial x} + V_y \frac{\partial V_x}{\partial y} \right) Gr - V_y \frac{\sin \varphi}{Ek} &= -Gr \frac{\partial P}{\partial x} + \Delta V_x \\ \left(V_x \frac{\partial V_y}{\partial x} + V_y \frac{\partial V_y}{\partial y} \right) Gr + V_x \frac{\sin \varphi}{Ek} &= -Gr \frac{\partial P}{\partial y} + \Delta V_y \\ V_x \frac{\cos \varphi}{\delta Ek} + Gr \frac{\partial P}{\partial z} &= GrT \end{aligned} \quad (1)$$

$$\left(V_x \frac{\partial T}{\partial x} + V_y \frac{\partial T}{\partial y} \right) Ra = \Delta T, \quad \frac{\partial V_x}{\partial x} + \frac{\partial V_y}{\partial y} = 0$$

Здесь V_x, V_y – безразмерные компоненты вектора скорости жидкости, $V = g\beta\vartheta L^2/\nu$ – характерный масштаб скорости; безразмерные горизонтальные координаты x, y определены характерным масштабом длине L , а поперечная координата z – толщиной h слоя жидкости; $\delta = h/L$ – отношение масштабов длины; $Gr = g\beta\vartheta L^3/\nu^2$ – число Грасгофа, β – коэффициент объемного расширения жидкости, g – ускорение свободного падения, ϑ – разность максимальной и минимальной температур, ν – коэффициент кинематической (молекулярной) вязкости жидкости, $Ra = Pr Gr$ – число Рэлея, $Pr = \nu/\chi$ – число Прандтля, χ – коэффициент температуропроводности, $Ek = Ro/Gr = \nu/(L\omega)$ – число Экмана, $Ro = VL/(L^2\omega)$ – число Россби. Вектор угловой скорости имеет вид: $\boldsymbol{\omega} = (0, \omega \cos \varphi, \omega \sin \varphi)$ [2].

Для системы (1) зададим следующие граничные условия. На нижней поверхности $z = 0$ заданы: температура в виде

$$T_0 = A_0 + xA_1 + yA_2, \quad (2)$$

где A_0 - значение фоновой температуры (можно принять равным нулю), A_1, A_2 - градиент температуры; условия прилипания: $V_x|_{z=0} = 0, V_y|_{z=0} = 0$.

На верхней (свободной) поверхности $z = 1$ задана температура в виде [3,4]

$$T_a = B_0 + xB_1 + yB_2, \quad (3)$$

где B_0 - значение фоновой температуры, B_1, B_2 - компоненты градиента температуры. На верхней границе давление постоянно. Течение жидкости на свободной границе индуцируется заданием скоростей.

Точное решение будем искать в виде [5,6,7]:

$$V_x = U(z); V_y = V(z); P = P_0(z) + xP_1 + yP_2(z), T = T_0(z) + xT_1 + yT_2(z) \quad (4)$$

После подстановки (4) в систему (1) получим разрешающую систему нелинейных обыкновенных дифференциальных уравнений относительно восьми функций $U, V, T_0, T_1, T_2, P_0, P_1, P_2$:

$$T_1'' = 0, T_2'' = 0, P_1' = \frac{\delta^2}{Gr} T_1, P_2' = \frac{\delta^2}{Gr} T_2, \quad (5)$$

$$U'' = \delta^2 Gr P_1 - \frac{\delta^2 \sin \varphi}{Ek} V, V'' = \delta^2 Gr P_2 + \frac{\delta^2 \sin \varphi}{Ek} U, \quad (6)$$

$$T_0'' = \frac{1}{Ra} (T_1 U + T_2 V), P_0' = \frac{\delta \cos \varphi}{Gr Ek} U - \frac{\delta^2}{Gr} T_0. \quad (7)$$

Система уравнений (5)-(7) решается последовательно. Уравнения записаны в порядке их решения. Общее решение подсистемы (5) получается последовательным интегрированием входящих в нее уравнений и имеет вид

$$T_1 = C_1 z + C_2, T_2 = C_3 z + C_4, \\ P_1 = \frac{(1-z)(C_1(1+z) + 2C_2)\delta^2}{2Gr}, P_2 = \frac{(1-z)(C_3(1+z) + 2C_4)\delta^2}{2Gr}. \quad (8)$$

Подсистему (6) можно свести к одному уравнению относительно функции U :

$$\frac{d^4 U}{dz^4} + 4\delta^4 k^4 U = \delta^2 Gr (P_1''(z) - 2\delta^2 k^2 P_2(z)) \quad (9)$$

Здесь обозначено $2k^2 = \sin \varphi / Ek$. При этом собственные значения системы (9) равны $\sqrt{2}k(\pm 1 \pm i)$ и инвариантны при смене знака широты. При отрицательных значениях угла φ (южное полушарие) берется $k = \sqrt{|\sin \varphi| / (2Ek)}$. Но в неоднородные слагаемые решения входит $k^2 = \sin \varphi / (2Ek)$. Эта величина очевидно, зависит от знака широты.

Общее решение подсистемы (6) можно записать в виде:

$$U = (C_7 e^{k\delta z} + C_9 e^{-k\delta z}) \cos(k\delta z) + (C_8 e^{k\delta z} + C_{10} e^{-k\delta z}) \sin(k\delta z) - \quad (10)$$

$$- \frac{C_1 + \delta^2 k^2 (1-z)(C_3(1+z) - 2C_4)}{4k^4},$$

$$V(z) = \frac{-C_3 - k^2(z-1)(C_1 + 2C_2 + C_1 z)\delta^2}{4k^4} + (C_9 e^{-kz\delta} - C_7 e^{kz\delta}) \cos(kz\delta) - \quad (11)$$

$$-(C_{10}e^{-kz\delta} - C_8e^{kz\delta})\sin(kz\delta).$$

Здесь где $C_1, C_2, C_3, C_4, C_5, C_6, C_7, C_8, C_9, C_{10}$ - произвольные постоянные, определяемые из граничных условий.

Краевые условия (2), (3) в рамках класса (4) запишутся следующим образом при $z=0$: $U=0, V=0, T_0=0, T_1=A_1, T_2=A_2$; (12)
при $z=1$: $T_1=B_1, T_2=B_2, T_0=B_0, P_0=0, P_1=0, P_2=0, U=W_x, V=W_y$.

При заданных граничных условиях (12) решение скорости и градиентов температуры и давления примут вид

$$\begin{aligned} T_1 &= A_1 + (B_1 - A_1)z, \quad T_2 = A_2 + (B_2 - A_2)z, \\ P_1(z) &= \frac{(B_1 + A_1(z-1)^2 - B_1z^2)\delta^2}{2Gr}, \quad P_2(z) = \frac{(B_2 + A_2(z-1)^2 - B_2z^2)\delta^2}{2Gr}, \\ U(z) &= \frac{A_1 - B_1}{4k^4} + \frac{B_2 - A_2}{4k^2}z^2\delta^2 - \delta^2 \frac{A_2 + B_2}{4k^2} + \frac{z\delta^2}{2k^2}A_2 + \\ &+ \frac{1}{1 + e^{4k\delta} - 2e^{2k\delta} \cos(2k\delta)} \left\{ W_x \left[\left(e^{k\delta(1-z)} + e^{k\delta(3+z)} \right) \cos(k\delta(z-1)) - \right. \right. \\ &\left. \left. - \left(e^{k\delta(3-z)} + e^{k\delta(1+z)} \right) \cos(k\delta(1+z)) \right] - \right. \\ &\left. - W_y \left[\left(e^{k(3+z)\delta} - e^{k(1-z)\delta} \right) \sin(k(z-1)\delta) + \left(e^{k\delta(3-z)} - e^{k\delta(1+z)} \right) \sin(k\delta(1+z)) \right] + \right. \\ &\left. + \frac{A_1 - B_1}{4k^4} \left[\left(e^{(2-z)k\delta} + e^{k\delta(2+z)} \right) \cos(k\delta(z-2)) - \left(e^{(1-z)k\delta} + e^{k\delta(3+z)} \right) \cos(k\delta(z-1)) - \right. \right. \\ &\left. \left. - \left(e^{(4-z)k\delta} + e^{k\delta z} \right) \cos(k\delta z) + \left(e^{(3-z)k\delta} + e^{(1+z)k\delta} \right) \cos((1+z)k\delta) \right] + \right. \\ &\left. + \frac{A_2 - B_2}{4k^4} \left[\left(e^{(2-z)k\delta} - e^{k\delta(2+z)} \right) \sin(k\delta(z-2)) + \left(e^{k\delta(3+z)} - e^{k\delta(1-z)} \right) \sin(k\delta(z-1)) \right. \right. \\ &\left. \left. + \left(e^{kz\delta} - e^{(4-z)k\delta} \right) \sin(kz\delta) + \left(e^{(3-z)k\delta} - e^{(1+z)k\delta} \right) \sin((1+z)k\delta) \right] + \right. \\ &\left. + \frac{A_1 + B_1}{4k^2} \delta^2 \left[\left(e^{(2-z)k\delta} - e^{(2+z)k\delta} \right) \sin(z-2)k\delta + \left(e^{k\delta z} - e^{(4-z)k\delta} \right) \sin(k\delta z) \right] + \right. \\ &\left. + \frac{A_2 + B_2}{4k^2} \delta^2 \left[- \left(e^{(2-z)k\delta} + e^{(2+z)k\delta} \right) \cos((z-2)k\delta) + \left(e^{(4-z)k\delta} + e^{k\delta z} \right) \cos(k\delta z) \right] \right\}, \\ V(z) &= \frac{A_2 - B_2}{4k^4} - \frac{\delta^2}{4k^2} \left(B_1(z^2 - 1) - A_1(z-1)^2 \right) + \end{aligned}$$

$$\begin{aligned}
& + \frac{1}{1 + e^{4k\delta} - 2e^{2k\delta} \cos(2k\delta)} \left\{ W_x \left[\left(e^{k(3+z)\delta} - e^{k(1-z)\delta} \right) \sin k(z-1)\delta + \right. \right. \\
& + \left. \left(e^{k(3-z)\delta} - e^{k(1+z)\delta} \right) \sin k(1+z)\delta \right] + \\
& + W_y \left[\left(e^{k\delta(1-z)} + e^{k\delta(3+z)} \right) \cos(k\delta(z-1)) - \left(e^{k\delta(3-z)} + e^{k\delta(1+z)} \right) \cos(k\delta(z+1)) \right] + \\
& + \frac{A_1 - B_1}{4k^4} \left[\left(e^{(2+z)k\delta} - e^{(2-z)k\delta} \right) (\sin(z-2)k\delta) + \left(e^{(1-z)k\delta} - e^{(3+z)k\delta} \right) \sin((z-1)k\delta) + \right. \\
& + \left. \left(e^{(4-z)k\delta} - e^{k\delta z} \right) \sin(k\delta z) - \left(e^{(3-z)k\delta} - e^{(1+z)k\delta} \right) \sin((1+z)k\delta) \right] + \\
& \frac{A_2 - B_2}{4k^4} \left[\left(e^{(2-z)k\delta} + e^{(2+z)k\delta} \right) \cos((z-2)k\delta) - \left(e^{(1-z)k\delta} + e^{(3+z)k\delta} \right) \cos((z-1)k\delta) - \right. \\
& - \left. \left(e^{(4-z)k\delta} + e^{zk\delta} \right) \cos(zk\delta) + \left(e^{(3-z)k\delta} + e^{(1+z)k\delta} \right) \cos((1+z)k\delta) \right] + \\
& + \frac{A_2 + B_2}{4k^2} \delta^2 \left[\left(e^{(2-z)k\delta} - e^{(2+z)k\delta} \right) \sin((z-2)k\delta) - \left(e^{(4-z)k\delta} - e^{k\delta z} \right) \sin(k\delta z) \right] + \\
& + \left. \frac{A_1 + B_1}{4k^2} \delta^2 \left[\left(e^{(2-z)k\delta} + e^{(2+z)k\delta} \right) \cos((z-2)k\delta) - \left(e^{(4-z)k\delta} + e^{k\delta z} \right) \cos(k\delta z) \right] \right\}.
\end{aligned}$$

Полные формулы температуры и давления не приводятся из-за их громоздкости.

При указанных краевых условиях были проведены исследования для определения зависимости решения от параметров и угла наклона пластины к оси вращения.

Исследование точных решений показало, что с ростом угловой скорости вращения увеличивается число застойных точек, что приводит к интенсивной стратификации поля скоростей. При определенных значениях параметров жидкость останавливается, а затем разгоняется из-за вращения и нагрева. Фоновое давление существенно зависит от широты. Определяющим слагаемым становится вклад силы Кориолиса. При $\varphi = \pi/2$ давление определяется только температурой и существенно мало по сравнению с давлением, создаваемым силой Кориолиса.

На приведенных ниже рисунках представлены профили компонент скорости и давления. Из рис. 3, 6 видно, что при $\varphi < \pi/2$ давление определяется силой Кориолиса. Слагаемое, определяемое температурой на несколько порядков меньше и на графике сливается с вертикальной осью. На рисунках 1, 2, 3 вычисления проведены при параметрах

$$A_1 = 0.2, A_2 = 0, B_1 = 0.1, B_2 = 0, W_x = 0.2, W_y = -1, \delta = 0.01,$$

$$Ra = 7000, Gr = 1000, Ek = 0.00001, B_0 = 10$$

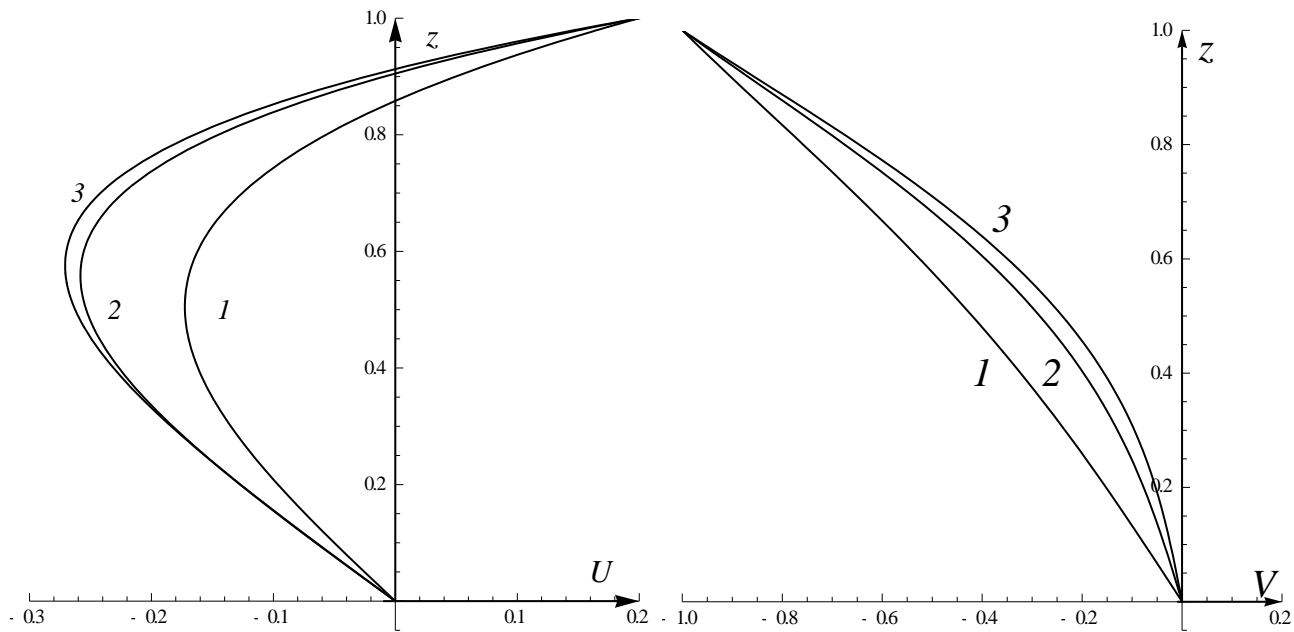


Рис. 1.

Рис. 2.

профиль компоненты скорости U

профиль компоненты скорости V

цифрами на графиках обозначены кривые, полученные при

1 - $\varphi = \pi/6$, 2 - $\varphi = \pi/3$, 3 - $\varphi = \pi/2$

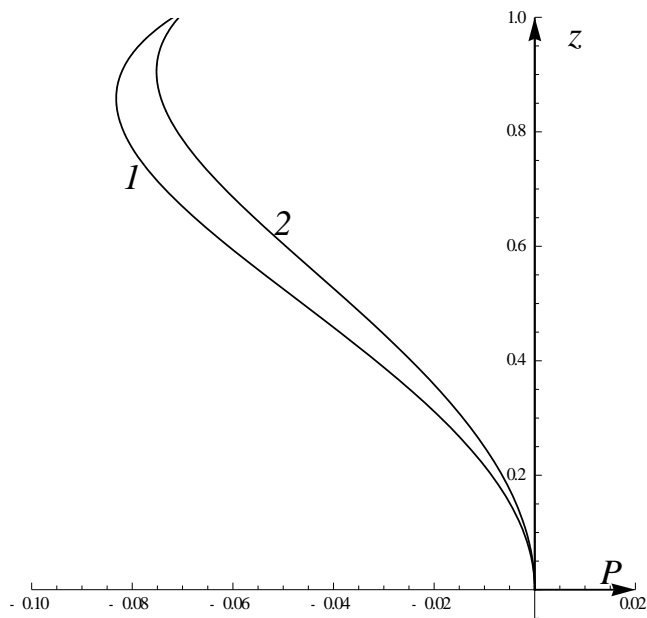


Рис. 3

Профиль давления P_0

На рисунках 4, 5, 6 вычисления проведены при параметрах
 $A_1 = 0.0, A_2 = 0.1, B_1 = 0.0, B_2 = 2., W_x = 0.2, W_y = -1., \delta = 0.01, Ra = 700., Gr = 100, Ek = 0.000002, B_0 = 10$

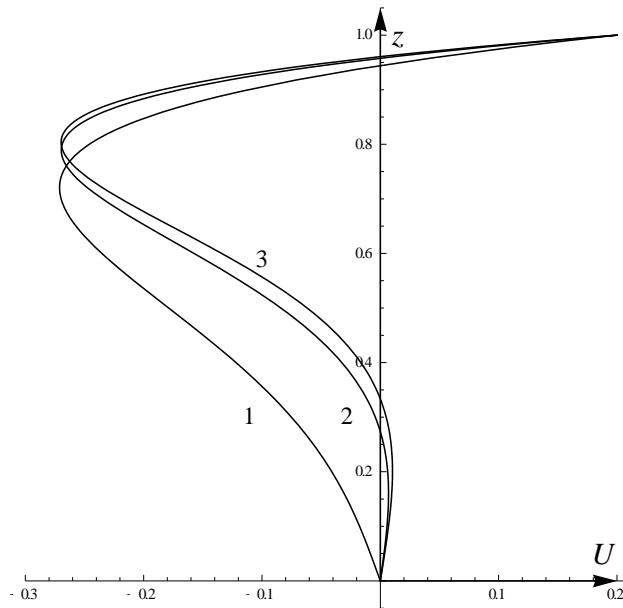


Рис. 4.

профиль компоненты скорости U

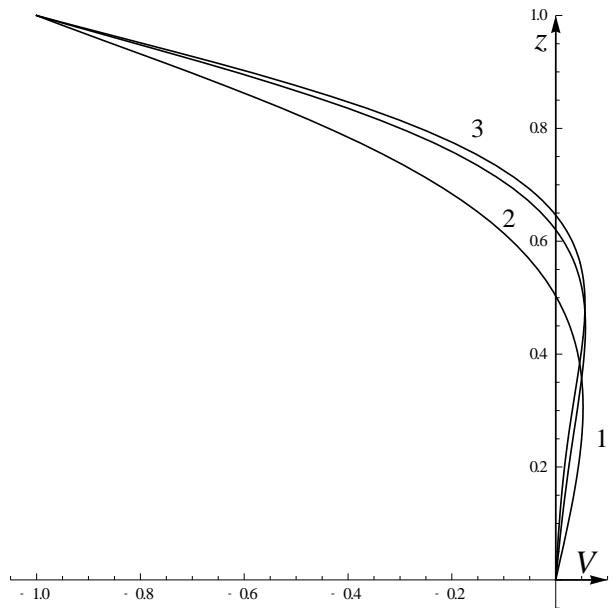


Рис. 5.

профиль компоненты скорости V

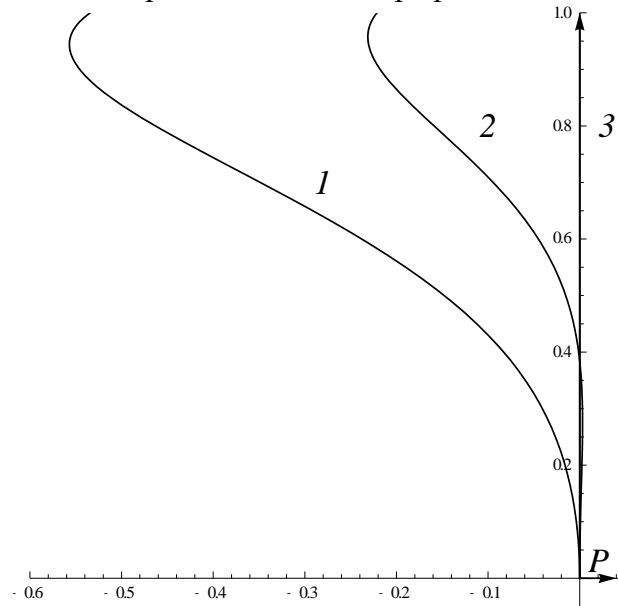


Рис. 6

Профиль давления P_0

При всех использованных значениях параметров температура получалась линейной функцией переменной z . Коэффициенты при нелинейных слагаемых получились на несколько порядков меньше, чем коэффициент линейного слагаемого.

Заключение

В работе получены точные (аналитические) решения задачи конвекции в бесконечно протяженном слое вязкой несжимаемой жидкости на наклонной плоскости с учетом двух

параметров Кориолиса. Проведены исследования полученного решения. Показано возникновение противотечений, влияние силы Кориолиса на давление в жидкости.

ЛИТЕРАТУРА

1. Ландау Л.Д., Лифшиц Е.М. Теоретическая физика. Т 6. Гидродинамика. М.: Наука, 2006. 736 с.
2. Н.Ю. Босых, А. П. Чупахин. Об одном частично инвариантном решении уравнений гидродинамики атмосферы//Вестник НГУ. Серия: Математика, механика, информатика. 2010. Т. 10, вып. 4. С. 26–35.
3. Горшков А.В., Просвирыков Е.Ю. Конвективное слоистое течение Экмана вязкой несжимаемой жидкости. //ИЗВЕСТИЯ РАН. ФИЗИКА АТМОСФЕРЫ И ОКЕАНА, 2018, том 54, № 2, с. 213–220.
4. A.V. Gorshkov, E. Yu. Prosviryakov. Convective flow in the solid rotation of a viscous incompressible fluid //Citation: AIP Conference Proceedings 1915, 040020 (2017); View online: <https://doi.org/10.1063/1.5017368>. View Table of Contents: <http://aip.scitation.org/toc/apc/1915/1>. 4 с.
5. Аристов С.Н., Просвирыков Е.Ю. О слоистых течениях плоской свободной конвекции // Нелинейная динамика. 2013. Т.9. № 3. С. 3-9.
6. Горшков А.В., Просвирыков Е.Ю. Аналитические решения стационарной сложной конвекции, описывающие поле касательных напряжений разного знака // Труды института Математики и механики УрО РАН. 2017, Т. 23. № 2. 32-41 с. с. 32-41
7. A.V. Gorshkov, E. Yu. Prosviryakov Complex large-scale convection of a viscous incompressible fluid with heat exchange according to Newton's law. Citation: AIP Conference Proceedings 1915, 040019 (2017); View online: <https://doi.org/10.1063/1.5017367>/ View Table of Contents: <http://aip.scitation.org/toc/apc/1915/1> 4 с.